

MP1S: Production & Mesure de champs magnétiques

Biblio: Quaranta et Domini II.

Géens. Magnétisme : statique, induc... .

Electrotech Terminala en fil du haut (pr branchement triphasé).

Plan: I. Production de champs magnétiques:

1. Sources usuelles : aimants ou bobines + courant.
2. Electroaimant : produit de dip fort
3. Champ tournant.

II. Mesures de champs magnétiques:

1. lecture de la compasante horizontale du dip mag. terrestre
2. le fluxmètre .
3. La sonde à effet Hall.

Intro: Le champ magnétique est une des 2 composantes du dip EM décrit par les eq. de Maxwell.

Le fait de pouvoir maîtriser ce dip a de nombreuses applicat. de la vie courante :

- stockage de l'information
- moteur électrique
- RMN, IRM
- accélérateurs de particules ...

Le but de ce montage est de voir comment on peut produire un dip magnétique et ensuite, comment on peut le mesurer.

I. Production de dip magnétique :

1- Sources naturelles : aimants / bobines + courant.

Un champ mag \vec{B} = pseudo vecteur. Il est défini par sa norme

en sens

* Aimant : \rightarrow 3 aimant naturel : minéral tq Magnetite.

de direction

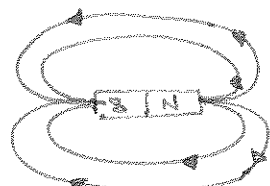
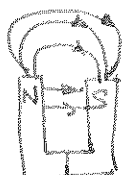
Observation: \rightarrow artificiel : fabriqués à partir de cope ferromagnétique (Fe, Ni...).



Réseau de petites boussoles + aimants en U

- droit

Si on place le ~~barre~~ sur le réseau on peut observer le spectre magnétique.

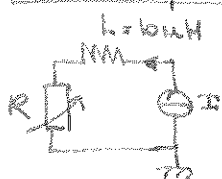


\vec{B} - sens + direction.

Norme avec bolomètre : $[B \Delta \text{ nT}]$

Les boussoles alignent leur noyau magnétique \vec{M} sur \vec{B} .

* Bobines parcourues par I :



On voit que si $I = 0 \Rightarrow$ pas de dip.

$I \neq 0 \Rightarrow$ ligne de dip.

On mesure $[B \Delta \text{ nT}]$

On peut donc créer un dip \vec{B} en faisant parcourir un courant dans bobine.

Rq: Influence d'un noyau de fer ds la bobine : - sur lignes de dip
- sur la valeur de \vec{B} .

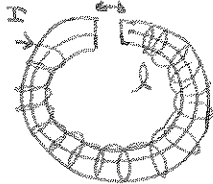
On va s'en servir pour créer des dip + forts \Rightarrow électroaimant.

2. L'électroaimant : production de "champs forts". (Mais c'est pas Alain...)

Electroaimant: constitué d'un matériau de forte perméabilité. $\mu = \mu_0 \mu_r$.

L'excitation se fait par un bobinage N spires parcourue par I .

e = entrefer



N spires.

I = longueur circuit

s = section.

$e \ll l$

$$\text{Odg: } \mu_r(\text{Fe}) = 10\,000 \text{ (H.m}^{-1}\text{)}$$

$$\mu_r(\text{Ni}) = 600 \text{ (H.m}^{-1}\text{)}$$

(au max).

→ Utilisé pour = polarité dip. mag. du entrefer
exploiter la force mag. qu'ils excèdent sur la matière ferro.

→ Electroaimant avec pôles polaire plate de entrefer \Rightarrow dip. uniforme trouées \Rightarrow dip + fort au centre.

Champ magnétique de l'entrefer: (on peut le supposer uniforme).

$$\text{Théor. d'Ampe: } NI = \int H \cdot dl = \underbrace{\frac{B \cdot e}{\mu_0}}_{\text{du l'entrefer.}} + \underbrace{\frac{B \cdot (l-e)}{\mu_0 \mu_r}}_{\text{de la carcasse métallique}}$$

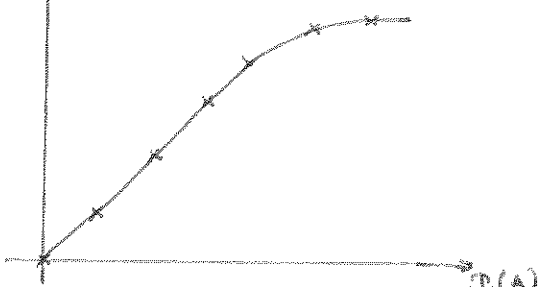
$$\text{Et comme } \mu_r \gg 1 \text{ on peut écrire que: } B \approx \frac{\mu_0 NI}{e}$$

Vérification:

- On trace $B = f(I)$ à e fixé (1 cm). et on vérifie la linéarité.
- $B = f(1/e)$ à I fixé ($I = A$).
- On mesure le champ B avec un télamètre dit on étudiera le fonctionnement en fin.
- On mesure B avec sonde de seuil $\rightarrow B_1 =$
 $\quad \quad \quad$ l'autre seuil $\rightarrow B_2 =$

$$B = \frac{B_1 - B_2}{2} = \quad \quad \quad \text{ut } \pm 5\%.$$

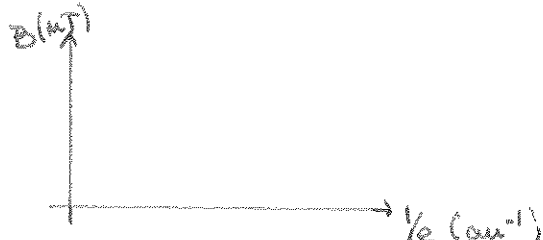
On mesure I à l'ampermètre: $I = \quad \quad \quad A \pm 1\%$
 $I(A)$



Linéarité pr des courants faibles \Rightarrow ok.

Saturation pr courants forts car mat. ferromagnét.

On trace $B = f(1/e)$. Nelle mesure pour B (en tourne la grnde).
e mesuré au mètre ruban.



- Rap: si e trop grande, on ne peut pas considérer que $e \gg \frac{l}{\mu r}$ et donc que $B \propto \frac{1}{e}$.

Si e trop gd, on ne peut pas considérer que le circuit fer+entrefer constitue un tube de force (et donc que B est le m à l'entrefer et de l'air).

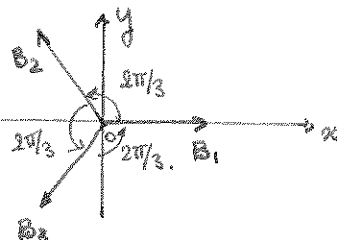
- * OUBLI (cas de la redac):
Manip du fil qui monte (ou descend ...)
fil parcouru par i place de l'entrefer. On
en déduit le sens de \vec{B} de l'entrefer grâce à force de Laplace $d\vec{F} = I d\ell \times \vec{B}$.

3. Production de champs tournants: à la base des moteurs à courants

théorème de Faraday:

3 bobines disposées à 120° alimentées par des courants triphasés de frq f orientent un chp magnétique tournant à la m frq.

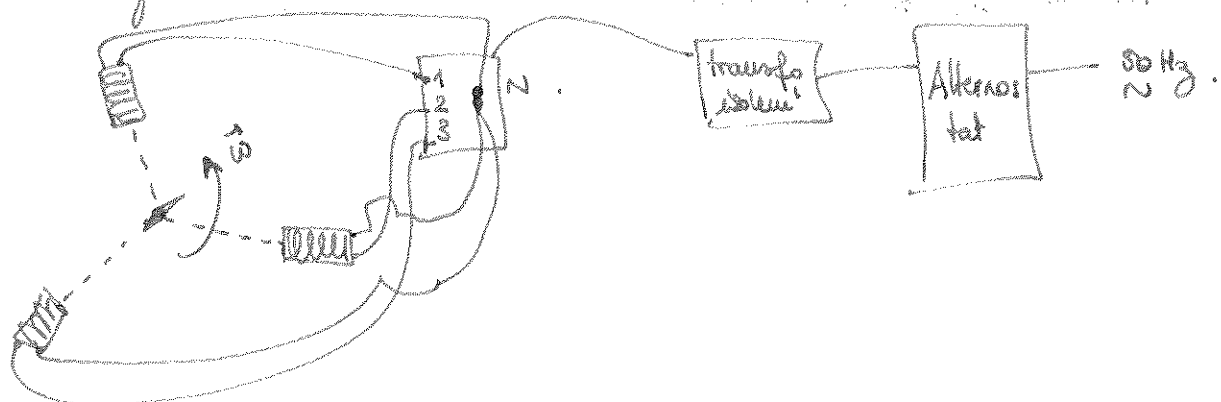
cf QM p 107



S'il on a $B_1 = B_0 \cos \omega t$
 $B_2 = B_0 \cos(\omega t - \frac{2\pi}{3})$
 $B_3 = B_0 \cos(\omega t - \frac{4\pi}{3})$.

En projetant sur Ox et Oy on obtient $B_x = \frac{3}{2} B_0 \cos \omega t$ $B_x, B_y = \text{projec. d}'1$
 $B_y = \frac{3}{2} B_0 \sin \omega t$ chp de module $\frac{3}{2} B_0$ tournant
à la vitesse ω .

Dispositif:
 . bobines identiques, m nbe de spires ($N = 1000$), décalées de $2\pi/3$ / centre.
 . Alimentat: secteur triphasé et montage en étoile (neutre commun).
 . Aiguille au centre.



Vérificat: de la vitesse de rotat: au stroboscop: $[w = \text{Hz}]$

3.

Produire des champs, c'est bien beau mais les mesurer c'est encore much better...
(Puisque la transition sophistiquée ...)

II. Mesures de champs magnétiques :

1. Mesure de la composante horizontale du champ magnétique terrestre :

La terre : dipôle magnétique "génant".

Notre pôle nord géographique, c'est son pôle sud magnétique. (Enfin pas tout à fait, il faut prendre en compte la délocalisation magnétique)

QdG: champ mag terrestre $\approx 0,5 \text{ G.} \approx 0,5 \cdot 10^{-4} \text{ T} = 5 \cdot 10^{-6} \text{ T.}$

Composante horizontale "pôles" : $B_{\text{OH}} \approx 0,4 \text{ G.}$
 $B_V \approx 0,2 \text{ G.}$

Principe de la mesure:



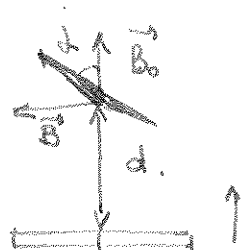
On pose un aimant horizontal / sol. Il possède un moment magnétique \vec{M} et sous l'act. du champ \vec{B}_{OH} , il a tendance à s'aligner avec \vec{B}_{OH} .

Si on le met au surv., apparaît un couple $\vec{F} = \vec{M} \times \vec{B}_{\text{OH}}$ et donc oscillat. de l'aimant à la périodicité $T = 2\pi \sqrt{\frac{|J|}{MB}}$ avec J : moment d'inertie de l'aimant / axe rotat.

Mais on ne connaît pas \vec{M} ! C'est ça grave mon ami, on fait l'expérience 2 qui consiste à mettre une aiguille sur un support (une pointe). Sous l'effet de \vec{B}_{OH} elle s'incline sur elle.



S'immobilisant on approche notre aimant petit de façon \perp à \vec{B}_{OH} :



Il va créer un champ (moment dipolaire) dont l'expression se résume ici à la composante orthogonale à savoir $B = \frac{\mu_0 M \sin \theta}{4\pi d^3}$ avec $\theta = \frac{\pi}{2}$

$$\text{donc encore } B = \frac{\mu_0 M}{4\pi d^3}$$

$$\text{Or } \tan \alpha = \frac{B}{B_{\text{OH}}} \Rightarrow B = \tan \alpha B_{\text{OH}}$$

On peut éliminer M et en déduire B_{OH}

$$M = \frac{4\pi^2 J}{T^2 B_{\text{OH}}} = \frac{4\pi^2 d^3 B}{\mu_0} \Rightarrow$$

$$B_{\text{OH}} = \frac{1}{T} \sqrt{\frac{\mu_0 T J}{\tan \alpha d^3}}$$

En mesurant T_{roue} , d et α on en déduit B_{eff} .

Sur la partie moins dure c'est de déterminer J :

$$J = \int_{-l}^l r^2 \pi a^2 dr \quad \text{avec } a = \text{rayon du boulon arrondi}$$


$$J = \pi a^2 \left[\frac{r^3}{3} \right]_{-l}^l = \left(\pi a^2 \frac{2l^3}{3} \right)$$

En prenant $\rho_{\text{acier}} \approx 8000 \text{ kg.m}^{-3}$

$$a \approx 1,5 \text{ mm}$$

$$l \approx 2,5 \text{ cm}$$

$$\Rightarrow J \approx 6 \cdot 10^{-3} \text{ kg.m}^2$$

On mesure: $T =$

$$d =$$

$$\Rightarrow B_{\text{eff}} =$$

$$\alpha =$$

NB: En prépara^o:

$$T = 2s$$

$$\alpha = 38^\circ$$

$$d = 10 \text{ cm}$$

$$\Rightarrow B_{\text{eff}} = 3,8 \cdot 10^5 \text{ T soit } 0,38 \text{ G...}$$

à comparer avec 0,46.

C'est pas mal non ?!

Comme quoi, avec des moyens simples on arrive à renouer à quelque chose de pas mal.
Maintenant fini les échantillages, on va mesurer du B' sérieusement.

2. Le Fluxmètre:

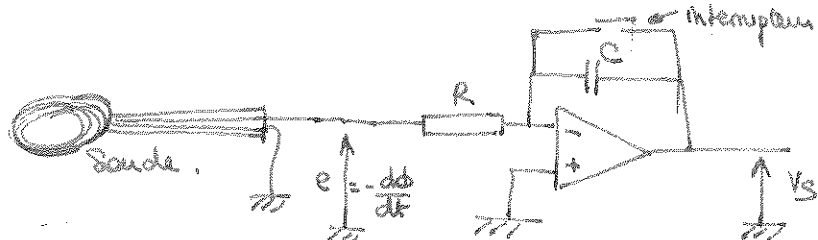
Avantage: Permet de mesurer des champs de la matière.

Principe se base sur l'induction. On dispose d'un bobinage à un certain nombre de spires enroulées dont la surface vaut S .

La variation de flux, à travers cette surface S entraîne l'apparition d'un champ de B'

aux bornes de la bobine $e = -\frac{d\Phi}{dt}$.

Si on branche la bobine à l'entrée d'un intégrateur :



$$\text{Alors } \Delta V_s = \frac{1}{RC} \int_0^t e dt.$$

Si à t=0, $V_s = 0$ (ou décharge le condensateur), $V_s = -\frac{1}{RC}t$ [edt].

$$\text{Or } e = -\frac{d\phi}{dt} \text{ et } \phi = B \cdot S$$

$$\Rightarrow V_s = \frac{NSAB}{RC} \text{ et si on part d'une région avec champ } B \text{ pour aller à } B=0, AB=B.$$

D'où $\boxed{V_s = \frac{NSB}{RC}}$. En mettant V_s en A/B.

Rq 1: Il faut régler l'offset de l'Ao pour sa dérive et qu'il perturbe mesuré.

- Il faut jouer sur R et C pour que soit < l'expérimentation et aussi qu'on n'ait pas saturé du signal.
- Pour ceux qui ne le savent pas déjà (ou qui après avoir été fatigués de manipuler ne se rendent pas compte que $S = 480 \text{ cm}^2$ c'est pas possible pour une petite soude comme ça ...). bref: ce qui est indiqué c'est déjà le point N.S. !

Mesures: $R = \pm$
 $C = \pm$
 $V_s = \pm$

On reprend l'électroanalogie du début pour une certaine $I = A$

NS = \pm (on fait confiance au constructeur).

$$\Rightarrow \boxed{B = MT \pm }$$

Inexactitudes sur B: $\frac{\Delta V_s}{V_s} + \frac{\Delta R}{R} + \frac{\Delta C}{C} = \frac{\Delta B}{B}$

A comparer avec la soude à effet Hall. (Ne pas oublier de flip-flop et $\frac{B_f - B_b}{2}$)

$$\boxed{B = MT \pm 5\%}$$

3. La soude à Effet Hall.

Principe du Testamètre: testamètre, soude = barreau de semi-conducteur dopé n ou p.

Si ce conducteur est parcouru par un courant i et est placé dans un champ magnétique B , il apparaît un dip Hall (accumulation des électrons sur une des faces) et il en résulte une tension, la tension de Hall.

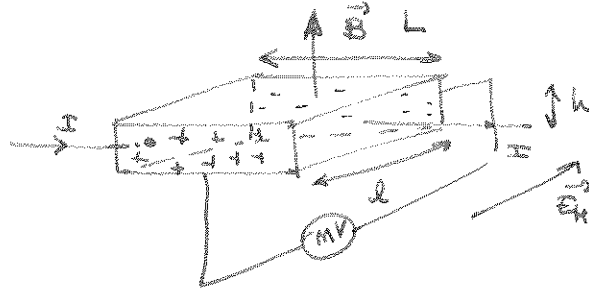
Tout ça c'est l'effet Hall.

Même schéma que NP18 :

Force de Lorentz :

$$\vec{F} = q\vec{v} \times \vec{B}$$

Force électrique : $\vec{E} = \vec{F}/q$



En égalisant les deux forces (régime permanent), on montre que

$$V_h = \frac{Ih}{nq} B$$

le V_h proportionnel à B .

n = densité de porteurs

$$q = 1,6 \cdot 10^{-19} C$$

- La mesure de B se résume à une mesure de V_h .
- Semi-conducteur pour que V_h ne soit pas trop petite ($/$ métal).
- Les \neq calibres correspondent à \neq intensités moyennes du sc.

MANIP: on reprend le fil électroaimant, et on utilise la plaque de Germanium.

On trace $V_h = f(B)$.

Ici environs, pourra à : retourner la plaque (mais c'est rebou)

- inverser le sens du courant. Δ bien revenir à 0 avant de débrancher.

On mesure $V_h =$

$$V_{-} \Rightarrow V_h = \frac{V_{+} - V_{-}}{2} = \dots mV$$

On trace $V_h = f(x)$

$$B = f(x) \quad (\text{cf manip } 1)$$

On voit que c'est linéaire \rightarrow ok !

Conclusion:

- Production de champs magnétiques de \neq OeG et champ tournant à la base du fil des bobines.
- Mesure de champs de \neq manette qui repose sur l'induit ou force Lorentz.
- Soude à effet Hall extrêmement répandue.
- Autre mesure possible = pour améliorer rehausseur et cycle d'hydrogène (cf RP 16)